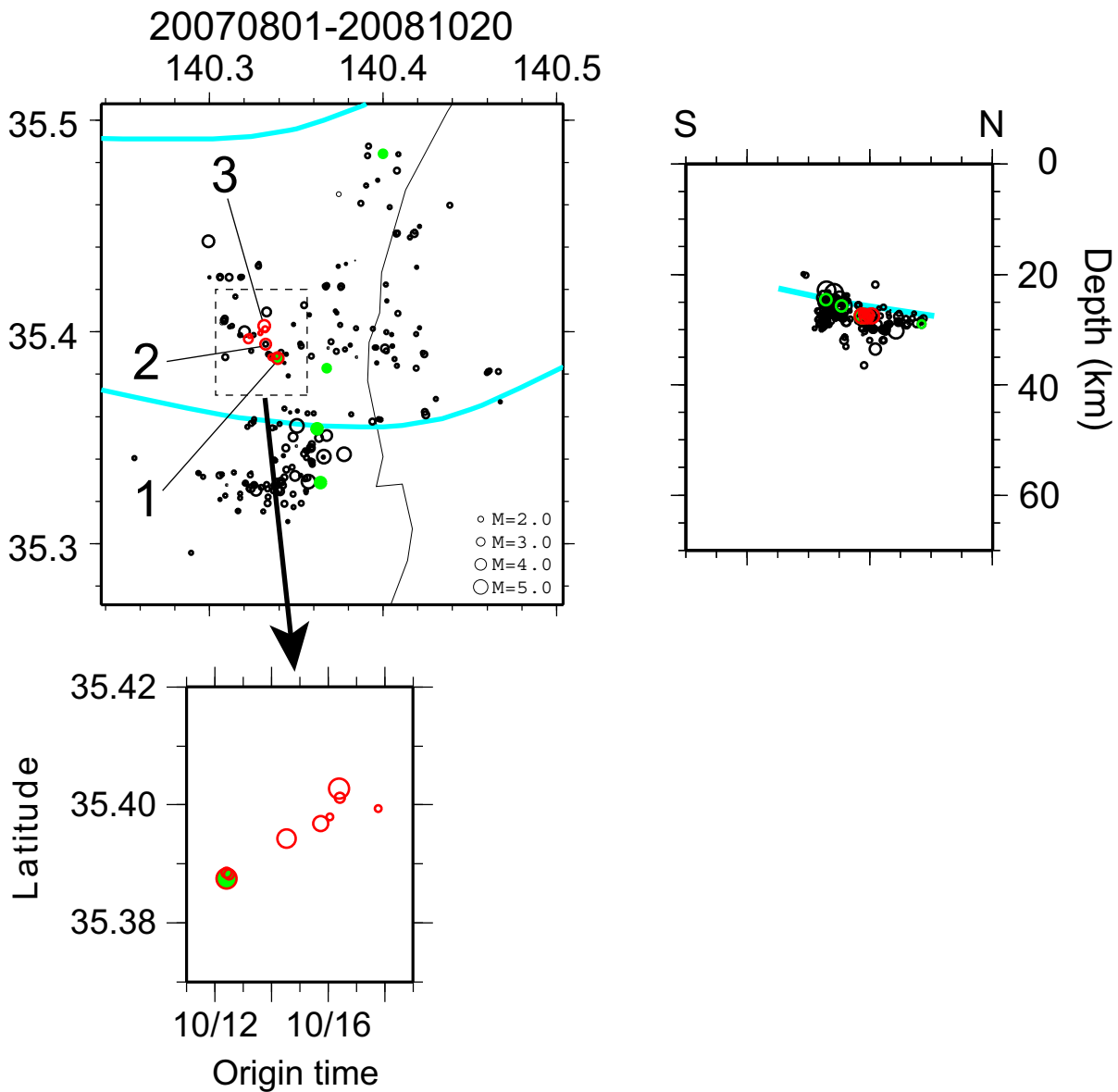


第2図 イベント1の一つ前の相似地震(1997/3/1)およびイベント1~3の関東地方東部(銚子観測点; N.CHSH)における波形記録(上下動成分, 1-20 Hz). イベント1との相関係数(CC)をあわせて示す.

Fig. 2 Waveform records of the previous repeating earthquake of event 1 in March 1, 1997 and events 1 – 3 at eastern Kanto (Choshi station, N.CHSH) (vertical component; 1-20 Hz). Cross-correlation coefficients (CC) with event 1 are also shown.

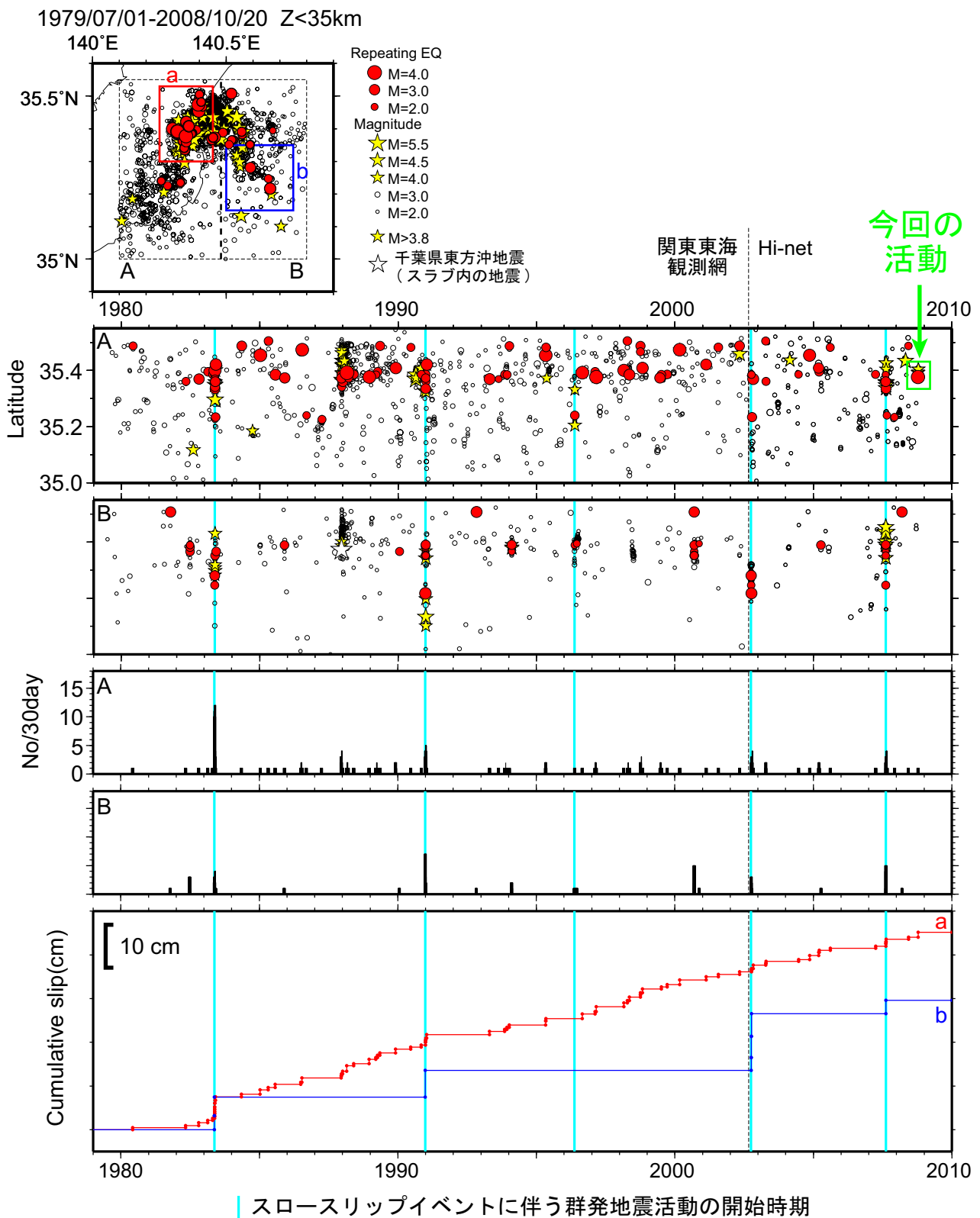


第3図 (左上) Double Difference 法³⁾により再決定された震央分布. 図の凡例は第1図と同じ. 震源再決定の解析範囲は第1図右図の矩形領域(解析は一部自動処理による読み取り結果を含む). (左下) 左上図の矩形領域に示した範囲の南北方向に投影した時空間分布. (右) 第1図 N-S に沿った鉛直断面.

Fig.3 (Upper left) The epicentral distribution determined by double difference method³⁾. The legend is the same as Fig. 1. A region of hypocenter relocation analysis is shown as a rectangle in a right panel of Fig. 1 (The analysis partially includes automatically picked readings). (Lower left) Space-time plot projected to N-S direction at a region shown as a rectangle in the upper left panel. (Right) Vertical cross section along a line “N-S” in Fig.1.

第1表 イベント1 を原点とした相対位置および距離(km).
Table 1 Relative location and distance (km) with respect to event 1.

No	X	Y	Z	R
1	0.0	0.0	0.0	0.0
2	-0.6	0.8	0.2	1.0
3	-0.7	1.7	0.0	1.8



第4図 房総半島沖の相似地震の震央分布，時空間分布，30日毎の相似地震の発生回数および平均積算すべり。領域AおよびBを分けて示した。スロースリップイベントに伴う群発地震活動の開始時期をあわせて示す。領域AおよびBの境界および平均積算すべりを求めた領域(aおよびb)は震央分布図を参照。

Fig. 4 The epicentral distribution of repeating earthquakes off the Boso Peninsula, space-time plot, frequency of repeating earthquakes for every 30 days and averaged cumulative slip. Regions A and B are shown, separately. Beginnings of seismic swarms synchronizing with slow slip events are also shown. Boundaries of regions A and B and areas where averaged cumulative slips were calculated (a and b) are shown in the top panel.